



中华人民共和国国家标准

GB/T 18238.2—2002
idt ISO/IEC FDIS 10118-2:2000

信息技术 安全技术 散列函数 第2部分:采用n位块密码的散列函数

Information technology—Security techniques—
Hash-functions—
Part 2: Hash-functions using an n-bit block cipher

2002-07-18 发布

2002-12-01 实施

中华人民共和国 发布
国家质量监督检验检疫总局

目 次

前言	I
ISO/IEC 前言	II
1 范围	1
2 引用标准	1
3 定义	1
4 符号和缩略语	1
5 通用模型的使用	2
6 散列函数 1	2
7 散列函数 2	3
8 散列函数 3	4
9 散列函数 4	6
附录 A(提示的附录) 数据加密算法的使用	9
附录 B(提示的附录) 实例	11
附录 C(提示的附录) 参考文献	15

前 言

本标准等同采用国际标准 ISO/IEC FDIS 10118-2:2000《信息技术 安全技术 散列函数 第 2 部分:采用 n 位块密码的散列函数》。

本标准的附录 A、附录 B 和附录 C 均为提示的附录。

本标准由中华人民共和国信息产业部提出。

本标准由中国电子技术标准化研究所归口。

本标准起草单位:中国电子技术标准化研究所。

本标准主要起草人:徐冬梅、张展新。

ISO/IEC 前言

ISO(标准化组织)和IEC(国际电工委员会)是世界性的标准化机构。国家成员体(都是ISO或IEC的成员国)通过国际组织建立的技术委员会参与制定针对特定技术领域的标准。ISO和IEC的技术委员会在共同感兴趣的领域内进行合作。与ISO和IEC有联系的其他官方和非官方国际组织也可参与标准的制定工作。

对于信息技术领域,ISO和IEC建立了一个联合技术委员会,即ISO/IEC JTC1。由联合技术委员会提出的标准草案需分发给国家成员体进行表决。发布一项标准,至少需要75%的参与表决的国家成员体投票赞成。

国际标准ISO/IEC FDIS 10118-2是由ISO/IEC JTC1“信息技术”联合技术委员会的SC 27“IT安全技术”分委会制定的。

ISO/IEC 10118在总标题“信息技术 安全技术 散列函数”下包含以下几个部分:

- 第1部分:概述
- 第2部分:采用 n 位块密码的散列函数
- 第3部分:专用散列函数
- 第4部分:采用模运算的散列函数

本标准的附录A和附录B均为提示的附录。

中华人民共和国国家标准

信息技术 安全技术 散列函数

第2部分:采用 n 位块密码的散列函数

GB/T 18238.2—2002
idt ISO/IEC FDIS 10118-2:2000

Information technology—Security techniques—
Hash-functions—

Part 2: Hash-functions using an n -bit block cipher

1 范围

本标准规定了采用 n 位块密码算法的散列函数,这些函数适合于已实现这样一个算法的环境。

本标准规定了四种散列函数。第一种提供了长度小于或者等于 n 的散列代码,其中 n 是采用算法的块长度。第二种提供了长度小于或者等于 $2n$ 的散列代码。第三种提供了长度等于 $2n$ 的散列代码。第四种提供了长度等于 $3n$ 的散列代码。本标准规定的全部四种散列函数符合 ISO/IEC 10118-1 中规定的通用模型。

2 引用标准

下列标准所包含的条文,通过在本标准中引用而构成为本标准的条文。本标准出版时,所示版本均为有效。所有标准都会被修订,使用本标准的各方应探讨使用下列标准最新版本的可能性。

GB/T 1988—1998 信息技术 信息交换用七位编码字符集(eqv ISO 646:1991)

GB/T 17964—2000 信息技术 安全技术 n 位块密码算法的操作方式(idt ISO/IEC 10116:1997)

ISO/IEC 10118-1:2000 信息技术 安全技术 散列函数 第1部分:概述

3 定义

本标准采用 ISO/IEC 10118-1 中给出的定义以及下列定义:

3.1 n 位块密码 n -bit block cipher

明文块和密文块的长度均为 n 位的块密码。(见 GB/T 17964)

4 符号和缩略语

本标准采用 ISO/IEC 10118-1 中给出的符号和缩略语以及下列符号和缩略语:

e n 位块加密算法(见 GB/T 17964)。

K 算法 e 的密钥(见 GB/T 17964)。

$e_k(P)$ 对明文块 P 采用算法 e 和密钥 K (见 GB/T 17964)的密码操作。

u 或者 u' 把一个 n 位块转换为算法 e 的密钥的变换。

B^L 当 n 是偶数时,构成块 B 的最左边的 $n/2$ 位的串。当 n 是奇数时,构成块 B 的最左边的 $(n+1)/2$ 位的串。

- B^K 当 n 是偶数时, 构成块 B 的最右边的 $n/2$ 位的串。当 n 是奇数时, 构成块 B 的最右边的 $(n-1)/2$ 位的串。
- B^x 当 B 是 n 个 m 位块的串时, B^x 表示 B 的第 x 个 m 位块。
- B^{x-y} 当 B 是 n 个 m 位块的串时, B^{x-y} 表示 B 的第 x 个到第 y 个 m 位块。

5 通用模型的使用

下面四章中规定的散列函数提供了长度为 L_H 的散列代码 H 。散列函数符合 ISO/IEC 10118-1 中规定的通用模型。对于下列四种散列函数中的每一种, 因此它只需规定:

- 参数 L_1, L_2 ;
- 填充法;
- 初始化值 IV ;
- 循环函数 ϕ ;
- 输出变换 T

使用通用模型定义的散列函数的用法也需要选择参数 L_H 。

6 散列函数 1

6.1 参数选择

本章中规定的散列函数的参数 L_1, L_2 和 L_H 应满足 $L_1=L_2=n$, 并且 L_H 小于或等于 n 。

6.2 填充法

同该散列函数一起使用的填充法的选择超出本标准的范围。填充法举例如 ISO/IEC 10118-1 的附录 A 中所示。

6.3 初始化值

同该散列函数一起使用的 IV 的选择超出本标准的范围。 IV 的值应由散列函数用户协商确定。

6.4 循环函数

循环函数 ϕ 把所填充的(长 $L_1=n$ 位)数据块 D_i 与(长 $L_2=n$ 位) H_{i-1} 组合起来, 以产生 H_i , 其中 H_{i-1} 是循环函数的前一步输出。作为循环函数的一部分, 有必要选择函数 u , 该函数把 n 位块变换成与块密码算法 e 一起使用的密钥。与该散列函数一起使用的函数 u 的选择超出本标准范围(指南见附录 A)。

循环函数本身定义如下:

$$\phi(D_i, H_{i-1}) = e_{K_i}(D_i) \oplus H_{i-1}$$

其中 $K_i = u(H_{i-1})$ 。循环函数如图 1 所示。

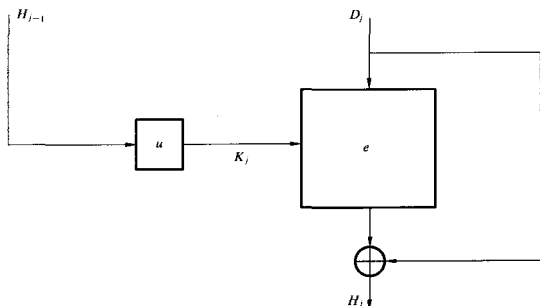


图 1 散列函数 1 的循环函数

6.5 输出变换

输出变换 T 是简单截短, 即通过取最终输出块 H_i 的左边 L_H 位得到散列代码 H 。

7 散列函数 2

7.1 参数选择

本章中规定的散列函数的参数 L_1 、 L_2 和 L_H 应满足 $L_1 = n$ 、 $L_2 = 2n$, 且 L_H 小于或等于 $2n$ 。

7.2 填充法

同该散列函数一起使用的填充法的选择超出本标准的范围。填充法举例如 ISO/IEC 10118-1 的附录 A 中所示。

7.3 初始化值

同该散列函数一起使用的 IV (长度为 $2n$) 的选择超出本标准的范围。 IV 的值应由散列函数用户协商确定。然而, 应这样选择 IV 以使 $u(IV^L)$ 和 $u'(IV^R)$ 是不同的。

7.4 循环函数

循环函数 ϕ 把所填充的 (长 $L_1 = n$ 位) 数据块 D_i 与 (长 $L_2 = n$ 位) H_{i-1} 组合起来, 以产生 H_i , 其中 H_{i-1} 是循环函数的前一步输出。作为循环函数的一部分, 有必要选择两种变换 u 和 u' 。这两种变换用于把输出块变换成算法 e 的两个合适的 L_K 位密钥。 u 和 u' 的规定超出本标准范围, 然而, 应当考虑到 u 和 u' 的选择对于散列函数的安全是重要的 (见附录 A)。

设 H_0^L 和 H_0^R 分别等于 IV^L 和 IV^R 。输出块以下列方式迭代计算, 对 j 从 1 到 q 做:

$$\phi(D_j, H_{j-1}) = H_j$$

$$K_j^L = u(H_{j-1}^L) \text{ 和 } K_j^R = u'(H_{j-1}^R)$$

$$B_j^L = e_{K_j^L}(D_j) \oplus D_j \text{ 和 } B_j^R = e_{K_j^R}(D_j) \oplus D_j$$

$$H_j^L = B_j^L \parallel B_j^R \text{ 和 } H_j^R = B_j'^L \parallel B_j'^R$$

循环函数如图 2 所示。

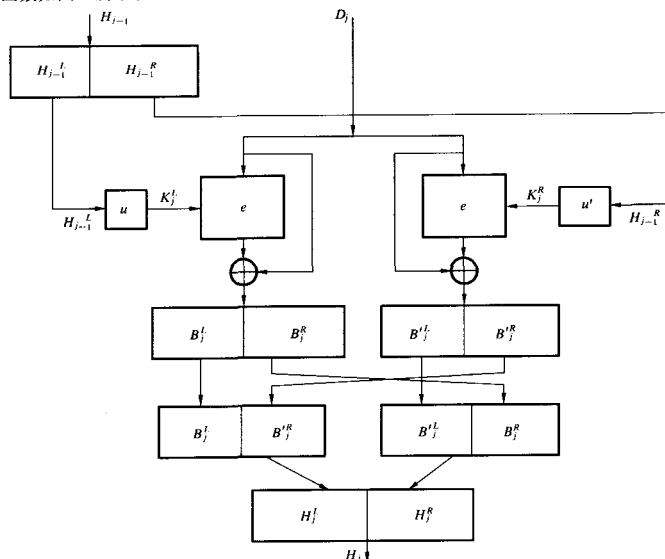


图 2 散列函数 2 的循环函数

7.5 输出变换

如果 L_H 是偶数,那么散列代码是 H_0^* 最左边 $L_H/2$ 位和 H_0^* 最左边 $L_H/2$ 位的串联。如果 L_H 是奇数,那么散列代码是 H_0^* 最左边 $(L_H+1)/2$ 位和 H_0^* 最左边 $(L_H-1)/2$ 位的串联。

8 散列函数 3

本章规定的散列函数提供了长度为 L_H 的散列代码,其中对偶数值 n 来说, L_H 等于 $2n$ 。

8.1 概述

以下是规定散列函数 3 所要求的某些特定的定义。

变换 u :

定义从密文空间到密钥空间的 r 个映射: u_1, u_2, \dots, u_r , 使得

对于任何 $i, j \in \{1, 2, \dots, r\}, j \neq i$, 对于 C 的全部值都有 $u_i(C) \neq u_j(C)$ 。

这可通过固定特定的密钥位得到:例如,如果 $r=8$,我们可把 3 个密钥位固定到值 000, 001, \dots , 111 上。例如,为避免与弱密钥或块密码的补码特性相关的问题,可以对映射 u_i 施加附加的条件。

定义 r 个函数 f_i 如下:

$$f_i(X, Y) = e_{u_i(X)}(Y) \oplus Y, 1 \leq i \leq r$$

线性映射 β :

定义线性映射 β , 输入一个 $2n$ 位串 $X = x_0 \parallel x_1 \parallel x_2 \parallel x_3$, 它将该串映射为 $2n$ 位串 $Y = y_0 \parallel y_1 \parallel y_2 \parallel y_3$, 如下述:

$$y_0 = x_0 \oplus x_3$$

$$y_1 = x_0 \oplus x_1 \oplus x_3$$

$$y_2 = x_1 \oplus x_2$$

$$y_3 = x_2 \oplus x_3$$

这里 x_i 和 y_i 是 $n/2$ 位串。

8.2 参数选择

本章中规定的散列函数的参数 L_1, L_2 和 L_H 应满足, $L_1 = 4n, L_2 = 8n$, 且 L_H 等于 $2n$ 。

8.3 填充法

同该散列函数一起使用的填充法应按照 ISO/IEC 10118-1 的 A3 章中规定, 以使 $r=n$ 。

8.4 初始化值

同该散列函数一起使用的 IV (其中长度为 $8n$) 的选择超出本标准的范围。 IV 的值应由散列函数用户协商确定。

8.5 循环函数

循环函数 ϕ 具有 8 个并行的加密过程, 以及 8 个 n 位链接变量 H_j^{i-8} 。

在每次迭代中, 把 4 个 n 位 (长 $L_1 = 4n$ 位) 数据块 D_j^{i-4} 与 (长 $L_2 = 8n$ 位) H_j^{i-8} 组合起来, 以产生 H_j^{i-8} , 其中 (长 $L_2 = 8n$ 位) H_j^{i-8} 是循环函数前一步的输出。

循环函数基于线性映射 γ_i , 输入 12 个 n 位串 l^{i-12} , 并把它们映射为 8 个 n 位串 X^{i-8} 和 8 个 n 位串 Y^{i-8} 。映射使用 8 个 $2n$ 位辅助串 $R^0, R^1, M^0, M^1, \dots, M^5$ 。映射 γ_i 通过如下步骤定义:

a) for $i=0$ to 5 do $\{M^{2i} = l^{2i+1}; M^{2i+1} = l^{2i+2};\}$

$$R^0 = 0; R^1 = 0;$$

b) for $i=0$ to 5 do $\{$

$$B_i = R^1 \oplus M^i;$$

$$R^1 = R^0 \oplus \beta(B_i);$$

$$R^0 = B_i;\}$$

c) for $i=0$ to 8 do $\{X^i = l^i;\}$

$$Y^1 = R^{0L};$$

$$Y^2 = R^{0R};$$

$$Y^3 = R^{1L};$$

$$Y^4 = R^{1R};$$

for $i=1$ to 4 do $\{Y^{4+i} = l^{8+i}\};$

循环函数具有下列形式 ($1 \leq j \leq q$):

$$(X_j^{j-8}, Y_j^{j-8}) = \gamma_i (H_j^{j-8}, D_j^{j-8});$$

for $i=1$ to 8 do $\{H_j^i = f_i(X_j^i, Y_j^i)\};$

循环函数如图 3a 所示, 线性映射 γ_i 如图 3b 所示。

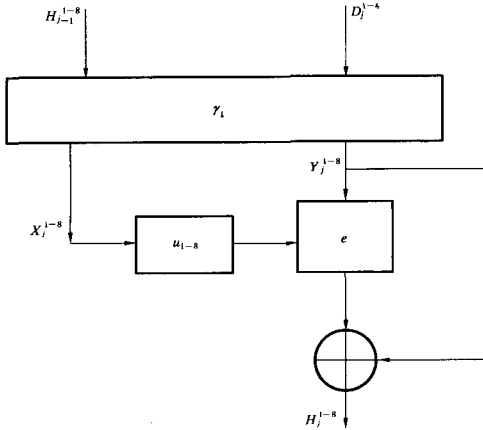


图 3a 散列函数 3 的循环函数

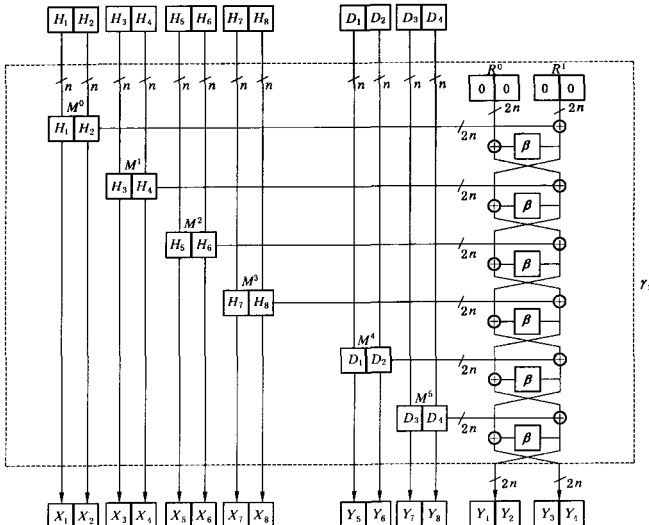


图 3b 散列函数 3 的线性映射 γ_i

8.6 输出变换

在处理所填充的消息后,链接变量具有值 H_q^{-8} 。执行 4 次附加的循环函数的迭代,其消息输入分别是:

$$D_{q+1}^{-4} = H_q^{1-4}$$

$$D_{q+2}^{-4} = H_q^{5-8}$$

$$D_{q+3}^{-4} = H_q^{1-4}$$

$$D_{q+4}^{-4} = H_q^{5-8}$$

这样散列函数的输出 L_H 包括 $H_{q+4}^{-1} \parallel H_{q+4}^{-2}$ 。输出变换要求 26 次加密过程(在最后一次迭代中仅需要执行两次加密过程)。

9 散列函数 4

本章规定的散列函数提供长度为 L_H 的散列代码,其中对于偶数值 n 来说, L_H 等于 $3n$ 。

9.1 概述

关于与该散列函数相关的特定定义见 8.1。

9.2 参数选择

本章中规定的散列函数的参数 L_1 、 L_2 和 L_H 应满足 $L_1=3n$ 、 $L_2=9n$,且 L_H 等于 $3n$ 。

9.3 填充法

同该散列函数一起使用的填充法应按照 ISO/IEC 10118-1:2000 条 A.3 中规定的,以使 $r=n$ 。

9.4 初始化值

同该散列函数一起使用的(长 $9n$) IV 的选择超出本标准的范围。 IV 的值应由散列函数用户协商确定。

9.5 循环函数

循环函数 ϕ 具有 9 个并行的加密过程,以及 9 个 n 位链接变量 H_j^{-9} 。

在每次迭代中,把 3 个 n 位(长 $L_1=3n$ 位)数据块 D_j^{-3} 与(长 $L_2=9n$ 位) H_j^{-9} 组合起来,以产生(长 $L_2=9n$ 位) H_j^{-9} ,其中 H_j^{-9} 是循环函数前一步的输出。

循环函数基于线性映射 γ_2 ,输入 12 个 n 位串 I^{1-12} ,并把它们映射为 9 个 n 位串 X^{1-9} 和 9 个 n 位串 Y^{1-9} 。映射使用 9 个 $2n$ 位辅助串 $R^0, R^1, R^2, M^0, M^1, \dots, M^8$ 。映射 γ_2 通过下列步骤定义:

a) for $i=0$ to 5 do $\{M^{2i} := I^{2i+1}; M^{2i+1} := I^{2i+2};\}$

$$R^0 := 0; R^1 := 0; R^2 := 0;$$

b) for $i=0$ to 5 do {

$$B := R^2 \oplus M^i;$$

$$U := \beta(B);$$

$$R^2 := R^1 \oplus U;$$

$$R^1 := R^0 \oplus U;$$

$$R^0 := B;\}$$

c) for $i=0$ to 9 do $\{X^i := I^i;\}$

$$Y^1 := R^{0L};$$

$$Y^2 := R^{0R};$$

$$Y^3 := R^{1L};$$

$$Y^4 := R^{1R};$$

$$Y^5 := R^{2L};$$

$$Y^6 := R^{2R};$$

for $i=1$ to 3 do $\{Y_j^{6+i} = I^{6+i};\}$

循环函数具有下列形式 ($1 \leq j \leq q$):

$$(X_j^{1-9}, Y_j^{1-9}) = \gamma_2(H_j^{1-9}, D_j^{1-3});$$

for $i=1$ to 9 do $\{H_j^i = f_i(X_j^i, Y_j^i);\}$

循环函数如图 4a 所示, 线性映射 γ_2 如图 4b 所示。

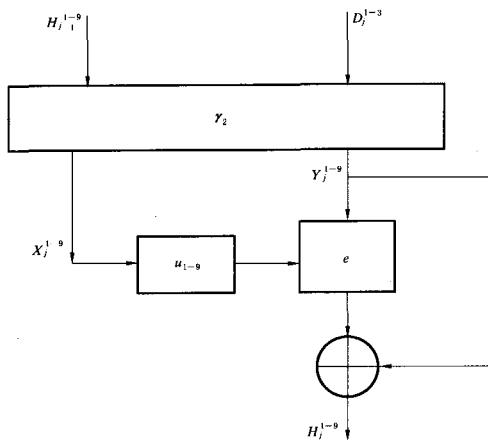


图 4a 散列函数 4 的循环函数

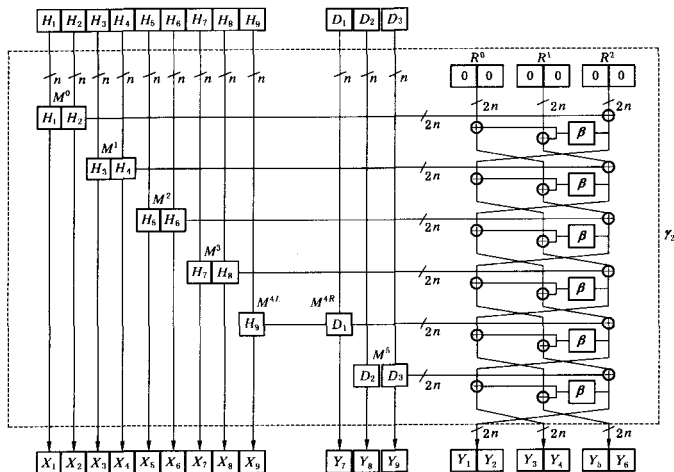


图 4b 散列函数 4 的线性映射 γ_2

9.6 输出变换

在处理所填充的消息后,链接变量具有值 H_q^{1-9} 。执行 4 次附加的循环函数的迭代,其消息输入分别是:

$$D_{q+1}^{1-3} = H_q^{1-3}$$

$$D_{q+2}^{1-3} = H_q^{4-6}$$

$$D_{q+3}^{1-3} = H_q^{7-9}$$

$$D_{q+4}^{1-2} = H_q^{1-3}$$

这样散列函数的输出包括 $H_{q+4}^1 \parallel H_{q+4}^2 \parallel H_{q+4}^3$ 。输出变换要求 30 次加密过程(在最后一次迭代中仅需要执行 3 次加密过程)。

附录 A

(提示的附录)

数据加密算法的使用

A1 概述

本附录提供了数据加密算法(DEA)(ANSI X3.92)与本标准中规定的散列操作一起使用的方法。DEA名称为数据加密标准(DES)。

位的编号如附录C的[2]中ANSI X3.92所示。

这些方法在附录C的[3]中作了描述,DEA的参数是 $n=64$ 及 $L_k=64$ 。

A2 散列函数 1

见第6章。

IV 应等于“5252525252525252”(用十六进制记法表示)。

变换 u 应按照如下选择。令 $X=x_1x_2\cdots x_{64}$ 是64位串 X 的二进制分解,则 $Y=u(X)$ 是让位 x_2 和位 x_3 的值分别为1、0,并且以位 $x_8',x_{16}',x_{24}',x_{32}',x_{40}',x_{48}',x_{56}',x_{64}'$ 分别取代位 $x_8,x_{16},x_{24},x_{32},x_{40},x_{48},x_{56},x_{64}$ 以后得到的字符串,其中 x_{8i}' 表示 X 中紧挨 x_{8i}' 的前7位即 $x_{8i-7},x_{8i-6},x_{8i-5},x_{8i-4},x_{8i-3},x_{8i-2},x_{8i-1}$ 的奇偶校验位。结果是: $Y=x_1'10x_4x_5x_6x_7x_8'x_9x_{10}\cdots x_{63}x_{64}'$ 。固定 X 中的位2和位3的理由在与IBM MDC-2的算法相关的附录C的[7]中描述;然而,相同的理由也适用于此散列函数。

注:认为找出循环函数和散列函数的碰撞要求 2^{27} 次DES加密过程。

A3 散列函数 2

见第7章。

IV^L 应等于“5252525252525252”(用十六进制记法表示)。

IV^R 应等于“2525252525252525”(用十六进制记法表示)。

变换 u 应与A2章中的相同,变换 u' 应按照如下选择。令 $X=x_1x_2\cdots x_{64}$ 是64位字符串 X 的二进制分解,则 $Y=u'(X)$ 是在分别让位 x_2 和位 x_3 的值为0、1,并且以 $x_8',x_{16}',x_{24}',x_{32}',x_{40}',x_{48}',x_{56}',x_{64}'$ 分别取代位 $x_8,x_{16},x_{24},x_{32},x_{40},x_{48},x_{56},x_{64}$ 以后得到的串,其中 x_{8i}' 表示 X 中紧挨 x_{8i}' 的前7位即: $x_{8i-7},x_{8i-6},x_{8i-5},x_{8i-4},x_{8i-3},x_{8i-2},x_{8i-1}$ 的奇偶校验位。结果是: $Y=x_1'01x_4x_5x_6x_7x_8'x_9x_{10}\cdots x_{63}x_{64}'$ 。固定 X 中的位2和位3的理由在与IBM MDC-2的算法相关的附录C的[7]中描述;然而,相同的理由也适用于该散列函数。

注:认为找出循环函数和散列函数的碰撞要求 2^{55} 个DES加密过程。

A4 散列函数 3

见第8章。

IV^1,IV^2,\cdots,IV^8 应等于“5252525252525252”(用十六进制记法表示)。

变换 u_1,u_2,\cdots,u_8 应按照如下选择。令 $X=x_1x_2\cdots x_{64}$ 是64位串 X 的二进制分解,则 $Y=u_i(X)$ 是在分别让位 x_1,x_2,\cdots,x_8 的值为表A1中给出的值,并且以 $x_8',x_{16}',x_{24}',x_{32}',x_{40}',x_{48}',x_{56}',x_{64}'$ 分别取代位 $x_8,x_{16},x_{24},x_{32},x_{40},x_{48},x_{56},x_{64}$ 以后得到的串,其中 x_{8i}' 表示 X 中紧挨 x_{8i}' 的前7位即 $x_{8i-7},x_{8i-6},x_{8i-5},x_{8i-4},x_{8i-3},x_{8i-2},x_{8i-1}$ 的奇偶校验位。

表 A1 散列函数 3:8 个子函数中密钥位 1、2、3、4 和 5 的值

子函数 i	子函数 i
1	00101
2	01001
3	10001
4	00110
5	01010
6	10010
7	01100
8	10100

注:认为找出循环函数和散列函数的碰撞要求 2^{21} 次 DES 加密过程。

A5 散列函数 4

见第 9 章。

IV^1, IV^2, \dots, IV^9 应等于“5252525252525252”(用十六进制记法表示)。

变换 u_1, u_2, \dots, u_9 应按照如下选择。令 $X = x_1 x_2 \dots x_{64}$ 是 64 位字符串 X 的二进制分解, 则 $Y = u_i(X)$ 是在分别让位 x_1, x_2, \dots, x_5 的值为表 A2 中给出的值, 并且以 $x_8', x_{16}', x_{24}', x_{32}', x_{40}', x_{48}', x_{56}', x_{64}'$ 分别取代位 $x_8, x_{16}, x_{24}, x_{32}, x_{40}, x_{48}, x_{56}, x_{64}$ 以后得到的串, 其中 x_{8i}' 表示 X 中紧挨 x_{8i} 的前 7 位即 $x_{8i-7}, x_{8i-6}, x_{8i-5}, x_{8i-4}, x_{8i-3}, x_{8i-2}, x_{8i-1}$ 的奇偶校验位。

表 A2 散列函数 4:9 个子函数中密钥位 1、2、3、4 和 5 的值

子函数 i	子函数 i
1	00101
2	01001
3	10001
4	00110
5	01010
6	10010
7	01100
8	10100
9	11000

注:认为找出循环函数和散列函数的碰撞要求 2^{18} 次 DES 加密过程。

A6 动机

如果 DEA 用于散列构建中, 它具有某些不期望的特性。首先, 有 4 个弱密钥, 其中加密函数等于解密函数。另外, 这 4 个弱密钥中, 有 2^{32} 个不动点, 即, 对其加密为自身明文本值。其次, 有 16 对半弱密钥, 其中由某一个密钥所诱导出的加密函数等于另一个密钥的解密函数。DES 也具有补码特性: 如果明文和密钥两者都取补码, 那么密文也取补码。

对于散列函数 1 和 2, 如上所述固定密钥的 2 个位的值, 是避免弱密钥和半弱密钥的充分必要条件。散列函数 1 需要 1 个固定的值, 散列函数 2 需要 2 个固定值。这些值必须具有下列特性:

——全部值必须是不同的。

——这些值中任何一个值都不允许使用弱密钥和半弱密钥。

对于散列函数 3 和 4,如上所述固定密钥的 5 个位的值,是避免弱密钥、半弱密钥和补码特性的充分必要条件。

散列函数 3 要求 8 个固定值,散列函数 4 要求 9 个固定值。这些值必须具有下列特性:

——全部值必须是不同的。

——这些值中任何一个值都不允许能使用弱密钥和半弱密钥。

——这些值中没有一个是另一个值的补码值。

满足上述条件的事实可从下列观察中推出。考虑密钥的 5 个位:1、2、3、4 和 5,对于 DEA 的全部弱密钥和半弱密钥,这 5 位取下列值中的一个:00000,11111,00011,或者 11100。

附录 B

(提示的附录)

实 例

B1 概述

本附录给出使用本标准附录 A 中规定的前两个散列函数的散列代码的计算的举例,以及 ISO/IEC 10118-1 的附录 B 中规定的填充法的举例。

对于“Now_is_the_time_for_all_”来说,数据串是附录 C 的[8]中所描述的 7 位 GB 1988 代码(无奇偶校验),其中“_”表示空白,用十六进制记法表示:

‘4E6F77206973207468652074696D6520666F7220616C6C20’

B2 散列函数 1

见 A2。

填充法 1

j	D_j	H_{j-1}	H_j
1	4E6F772069732074	5252525252525252	858A260F7391482D
2	68652074696D6520	858A260F7391482D	BDE06E66A0454081
3	666F7220616C6C20	BDE06E66A0454081	FF87B67E29BB87B1

填充法 2

j	D_j	H_{j-1}	H_j
1	4E6F772069732074	5252525252525252	858A260F7391482D
2	68652074696D6520	858A260F7391482D	BDE06E66A0454081
3	666F7220616C6C20	BDE06E66A0454081	FF87B67E29BB87B1
4	8000000000000000	FF87B67E29BB87B1	D992E6CBDFD9BA81

B3 散列函数 2

见 A3。

填充法 1

j	D_j	H_{j-1}^L	H_{j-1}^R
1	4E6F772069732074	5252525252525252	2525252525252525

2	68652074696D6520	858A260FFD4873A8	49771DD37391482D
3	666F7220616C6C20	B002740352F7CF4F	CFE8087E1B93CCB2
<i>j</i>		H_j^L	H_j^R
1		858A260FFD4873A8	49771DD37391482D
2		B002740352F7CF4F	CFE8087E1B93CCB2
3		42E50CD224BACEBA	760BDD2BD409281A

填充法 2

<i>j</i>	D_j	H_{j-1}^L	H_{j-1}^R
1	4E6F772069732074	5252525252525252	858A260F7391482D
2	68652074696D6520	858A260F7391482D	BDE06E66A0454081
3	666F7220616C6C20	B002740352F7CF4F	CFE8087E1B93CCB2
4	8000000000000000	42E50CD224BACEBA	760BDD2BD409281A
<i>j</i>		H_j^L	H_j^R
1		858A260FFD4873A8	49771DD37391482D
2		B002740352F7CF4F	CFE8087E1B93CCB2
3		42E50CD224BACEBA	760BDD2BD409281A
4		2E4679B5ADD9CA75	35D87AFEAB33BEE2

B4 散列函数 3

见 A4。

填充法 3

M_1^{1-4}	H_0^{1-8}	H_1^{1-8}
4e6f772069732074	5252525252525250	3817bdae19b2225a
68652074696d6520	5252525252525250	e3d076623583d877
666f7220616c6c20	5252525252525250	49b40c792ef3a4c4
8000000000000000	5252525252525250	8a719789bd78110d
	5252525252525250	858a260f7391482d
	5252525252525250	24663b3c87d579f5
	5252525252525250	ae090bece542b395
	5252525252525250	828147754817b9d3
M_2^{1-4}	H_1^{1-8}	H_2^{1-8}
0000000000000000	3817bdae19b2225a	e707467a1f5346a0
0000000000000000	e3d076623583d877	bb5ee05a7169849b
0000000000000000	49b40c792ef3a4c4	1f8bf96576f3af2c
0000000000000000	8a719789bd78110d	4c0f7b482d1315f2
	858a260f7391482d	d1f9b69c6e3ada6a
	24663b3c87d579f5	bd47cdf126206f86
	ae090bece542b395	91a3a27d96a760b4
	828147754817b9d3	52f0a65fa311abd9
M_3^{1-4}	H_2^{1-8}	H_3^{1-8}
e707467a1f5346a0	e707467a1f5346a0	1b1cb5b24f14bd5e
bb5ee05a7169849b	bb5ee05a7169849b	77c4fea88f17c659
1f8bf96576f3af2c	1f8bf96576f3af2c	84d0ab573184e7b8

4c0f7b482d1315f2	4c0f7b482d1315f2	04ad6d640ef3dd41
	d1f9b69c6e3ada6a	8c382ad7b2608680
	bd47cdf126206f86	440e7d6734aba3ad
	91a3a27d96a760b4	6c79fd354cebf488
	52f0a65fa311abd9	933baecdaefe96dd
M_4^{1-4}	H_3^{1-8}	H_4^{1-8}
d1f9b69c6e3ada6a	1b1cb5b24f14bd5e	14103e8e1371d79c
bd47cdf126206f86	77c4fea88f7c659	039d8adbc72e1b75
91a3a27d96a760b4	84d0ab573184e7b8	485480d68b15a8c1
52f0a65fa311abd9	04ad6d640ef3dd41	76ad4f338fa4626d
8c382ad7b2608680	c53cad3191b7294e	
440e7d6734aba3ad	fc1ab80fce4920f3	
6c79fd354cebf488	861f2b7c4a224f6e	
933baecdaefe96dd	4b96399b28f000d4	
M_5^{1-4}	H_4^{1-8}	H_5^{1-8}
e707467a1f5346a0	14103e8e1371d79c	fb6810eb1a7f3c8b
bb5ee05a7169849b	039d8adbc72e1b75	720441fd4d9c653c
1f8bf96576f3af2c	485480d68b15a8c1	815b516b2e25abd9
4c0f7b482d1315f2	76ad4f338fa4626d	1433b28ec0dfe04b
c53cad3191b7294e	f38221f40dc72976	
fc1ab80fce4920f34	561afdfc9279fa2	
861f2b7c4a224f6e	432023481ffa3998	
4b96399b28f000d4	c0579150f5b09d73	
M_6^{1-4}	H_5^{1-8}	H_6^{1-8}
d1f9b69c6e3ada6a	fb6810eb1a7f3c8b	701e6b65f31a6ddb
bd47cdf126206f86	720441fd4d9c653c	23d7d4c6c8d66715
91a3a27d96a760b4	815b516b2e25abd9	af57c481a50ad950
52f0a65fa311abd9	1433b28ec0dfe04b	aa692ba1d340203a
f38221f40dc72976	c42f680e5ce50575	
4561afdfc9279fa2	a1f7db3639418d8d	
432023481ffa3998	457804332a268880	
c0579150f5b09d73	a8f6d4077398b932	

B5 散列函数 4

见 A5。

填充法 3

M_1^{1-3}	H_0^{1-9}	H_1^{1-9}
4e6f772069732074	5252525252525250	4c94cc79cae77819
68652074696d6520	5252525252525250	d29e99f5c68a6233
666f7220616c6c20	5252525252525250	4e887bd627992f6f
	5252525252525250	f49f29f403beb556
	5252525252525250	0d864de5c09ca081
	5252525252525250	8af58cd7aac38005

	5252525252525250	8cb3928bd36dc983
	5252525252525250	4d263c662e075af8
	5252525252525250	58fc2852cd3b3012
M_2^{1-3}	H_1^{1-9}	H_2^{1-9}
8000000000000000	4c94cc79cae77819	414cf3eb381277c7
0000000000000000	d29e99f5c68a6233	bd58a6176226bcc9
00000000000000c0	4e887bd627992f6f	0f7050105fcbc9d6
	f49f29f403beb556	85c8c35886441428
	0d864de5c09ca081	4ae14549dc5ba435
	8af58cd7aac38005	add8eadcf2b954c1
	8cb3928bd36dc983	968e8c4604d7d06e
	4d263c662e075af8	e1a291fa48ebf45a
	58fc2852cd3b3012	b2dd1fe8fdb34712
M_3^{1-3}	H_2^{1-9}	H_3^{1-9}
414cf3eb381277c7	414cf3eb381277c7	b76c32c73212fb32
bd58a6176226bcc9	bd58a6176226bcc9	54885ed14ffd1c1b
0f7050105fcbc9d6	0f7050105fcbc9d6	3e0a181f8f239845
	85c8c35886441428	8a3e93dd54caff45
	4ae14549dc5ba435	027fc8d2823deade
	add8eadcf2b954c1	2ba78ba7bc398e5e
	968e8c4604d7d06e	fadffa8c7d70d4e2
	e1a291fa48ebf45a	8ceaf44bbc1ab78
	b2dd1fe8fdb34712	aa5985d2bcac5f5b
M_4^{1-3}	H_3^{1-9}	H_4^{1-9}
85c8c35886441428	b76c32c73212fb32	4c0997a2ad69abf5
4ae14549dc5ba435	54885ed14ffd1c1b	b27994d84743a3c8
add8eadcf2b954c1	3e0a181f8f239845	5e0347b82ba1a6af
	8a3e93dd54caff45	db895422b6aa9d00
	027fc8d2823deade	e26a0a405cf180c8
	2ba78ba7bc398e5e	4c7aa1e6d50e03b9
	fadffa8c7d70d4e2	838ca9bf32f46e93
	8ceaf44bbc1ab78	c86773b042a59790
	aa5985d2bcac5f5b	56043d88183ec785
M_5^{1-3}	H_4^{1-9}	H_5^{1-9}
968e8c4604d7d06e	4c0997a2ad69abf5	b96a4f306ec9ca2a
e1a291fa48ebf45a	b27994d84743a3c8	1d35c007225c43f4
b2dd1fe8fdb34712	5e0347b82ba1a6af	6dfa8d6f7371a3a5
	db895422b6aa9d00	9d9e3f4a956b638e
	e26a0a405cf180c8	80eea45b14fe4d68
	4c7aa1e6d50e03b9	ea8e1ca53f197d7e
	838ca9bf32f46e93	dac6e66cd9e7100a
	c86773b042a59790	031598c70f3294b5
	56043d88183ec785	452cfbff98fe864b

M_6^{1-3}	H_5^{1-9}	H_6^{1-9}
414cf3eb381277c7	b96a4f306ec9ca2a	a53c5ffcd01d3b29
bd58a6176226bcc9	1d35c007225c43f4	7155c6869a8a1b28
0f7050105fcbc9d6	6dfa8d6f7371a3a5	16dd5634f47109b4
	9d9e3f4a956b638e	07aaf79ab9dbe8fd
	80eea45b14fe4d68	64bc2dc5b6be379b
	ea8e1ca53f197d7e	3d67e08e82e336fc
	dac6e66cd9e7100a	255ba6b94074363f
	031598c70f3294b5	fea159a050fdeb4d
	452fcbff98fe864b	7253b8ff11830261

附 录 C

(提示的附录)

参 考 文 献

- [1] ISO/IEC 9979:1999 信息技术 安全技术 加密算法的登记规程
- [2] ANSI X3.92:1981 数据加密算法
- [3] S. M. MATYAS. 带控制矢量的密钥处理(Key Processing with Control Vectors). *J. of Cryptology*, Vol. 2, 1991, pp. 113-136.
- [4] L. R. KNUDSEN, B. PRENEEL. 基于块密码和四进制代码的散列函数(Hash-functions based on block ciphers and quaternary codes). *Advances in Cryptology*, Proc. AsiaCrypt'96, LNCS 1163. K. Kim, T. Matsumoto, Eds., Springer-Verlag, 1996, pp. 77-90.
- [5] L. R. KNUDSEN, B. PRENEEL. 基于代码的快速、安全的散列(Fast and secure hashing based on codes). *Advances in Cryptology*, Proc. Crypto'97, LNCS 1294. B. Kaliski, Ed., Springer-Verlag, 1997, pp. 485-498.
- [6] US patent 4,908,861, 使用基于公开单向加密函数更正检测代码的数据鉴别(Data Authentication Using Modification Detection Codes based on A Public One way Encryption Function). Issued March 13, 1990.
- [7] Don Coppersmith, Stephen M. Matyas, Mohammed Peyravian. MDC-2 算法中位固定的基本原理(Rationale for Bit Fixing in the MDC-2 Algorithm). IBM T. J. Watson Research Center, Yorktown Heights, N. Y., 10598. Research Report RC21471, May 7 1999.
- [8] GB/T 18238—1998 信息技术 信息交换用七位编码字符集(eqv ISO 646:1991).